

Pengaruh Kemiringan Tiang pada Kapasitas Dukung Tiang Pancang Kelompok di Tanah Lempung Lunak Akibat Beban Aksial

Fabian J. Manoppo

Abstrak

Pengaruh dari kemiringan tiang terhadap kapasitas dukung maksimum (Q_u) dari tiang pancang kelompok pada tanah lempung lunak telah teliti dengan variasi kemiringan tiang dimana jarak antar tiang tetap. Tiang pancang kelompok terdiri dari 4 tiang besi dengan panjang dan diameter yang sama. Percobaan dilakukan dilaboratorium dengan variasi kemiringan tiang (β) dimulai dari $0^\circ, \pm 15^\circ, \pm 30^\circ$.

Hasil perhitungan kapasitas dukung maksimum dari percobaan dilaboratorium (Q_u Lab) dibandingkan dengan kapasitas dukung maksimum teori (Q_u Teori) dari Meyerhof, G.G dan Ranjan 1976. Hasil percobaan dilaboratorium menunjukkan daya dukung maksimum dari laboratorium (Q_u Lab) untuk kemiringan tiang (β) $\pm 0^\circ$ 58.49% lebih besar dari Q_u Teori, selanjutnya untuk kemiringan tiang (β) $\pm 15^\circ$ Q_u Lab lebih besar 37.13% dari Q_u Teori sementara untuk kemiringan tiang (β) $\pm 30^\circ$ Q_u Lab lebih besar 0.8% dari Q_u Teori. Pengaruh kemiringan tiang terhadap daya dukung tiang pancang kelompok dari percobaan di laboratorium terjadi kenaikan sampai dengan kemiringan tiang (β) $\pm 30^\circ$, sedangkan hasil perhitungan daya dukung teori menunjukkan kenaikan hanya sampai pada kemiringan tiang (β) $\pm 15^\circ$ dan menurun kembali pada kemiringan tiang (β) $\pm 30^\circ$.

Kata kunci: Kapasitas dukung maksimum tiang pancang, kemiringan tiang, tiang pancang kelompok.

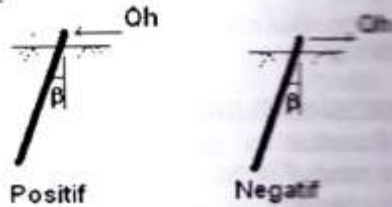
PENDAHULUAN

Pondasi tiang pancang adalah bagian konstruksi yang berfungsi untuk mentransmisikan beban-beban pada lapisan tanah yang berdaya dukung kecil ke lapisan tanah yang lebih dalam dengan daya dukung yang lebih besar. Telah banyak penelitian yang dilakukan untuk menghitung daya dukung tiang pancang tunggal akibat berbagai beban dan diberbagai lapisan tanah seperti, Kourimoto, T. et al. (1988) *Deflection behaviour of flexible piles in homogeneous soils subjected to horizontal loads*, Manoppo F.J. and Kourimoto T. (1998) *Ultimate bearing capacity and deflection of flexible batter piles in clay under horizontal loads*, Manoppo, F.J. and Kourimoto, T. (1998). *Fitting method for determining the ultimate bearing capacity of flexible batter piles in homogeneous sand under horizontal loads*, Manoppo, F.J. and Kourimoto, T. (1998). *Fitting method for determining the ultimate bearing capacity of flexible batter piles in clay under lateral loads*, Meyerhof, G.G. and Ranjan, G., (1972). *The Bearing Capacity of Rigid Piles under Inclined Loads in Sand. I, Vertical Piles*, Canadian Geotechnical Journal, 9, pp. 430 - 446, Meyerhof, G.G. and Ranjan (1973) *The bearing capacity of rigid piles under inclined loads in Sand II batter piles*, Meyerhof, G.G. (1976) *Bearing capacity and settlement of pile foundations*, Meyerhof, G.G. (1979) *Lateral resistance and deflection of rigid walls and piles in layered soils*, Meyerhof, G.G and Yalcin, A.S. (1984) *Pile capacity for eccentric inclined load in clay*, Sastry, V.V.R.N and Meyerhof, G.G. (1994) *Behaviour of flexible piles in layered sands under eccentric and inclined loads*, Sastry, V.V.R.N. et al (1994) *Bearing capacity and deflection of laterally loaded flexible piles*, Sastry, V.V.R.N. et al (1995) *Bearing capacity and bending moment of flexible batter piles in homogeneous soil*

under horizontal loads, Sastry, V.V.R.N. et al (1996) *Deflection of flexible piles in sand under horizontal loads*. Pada aplikasi dilapangan, pondasi yang terdiri dari tiang pancang tunggal jarang ditemui, umumnya digunakan tiang pancang kelompok (Pile Group). Menurut Peet et al., 1953 dan McHatty, (1956) tiang pancang miring dapat digunakan untuk menaikkan kapasitas dukung jika tiang pancang vertikal tidak mampu memikul beban horizontal yang ada. Berdasarkan penelitian – penelitian tersebut diatas maka penelitian pengaruh kemiringan terhadap daya dukung tiang pancang kelompok akibat beban axial ditanah lempung lunak akan dilaksanakan dengan pemodelan dilaboratorium dalam bentuk uji pembebanan pada 4 kelompok tiang pancang dengan variasi kemiringan (β) tiang dimulai dari $0^\circ, \pm 15^\circ, \pm 30^\circ$.

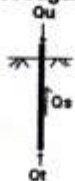
LANDASAN TEORI

Dalam menganalisa tiang pancang kelompok perhitungan daya dukungnya diprediksi dari daya dukung tiang pancang tunggal dimana untuk tiang pancang miring dapat dibagi dalam dua yakni tiang pancang miring positif jika arah beban horizontalnya berlawanan dengan arah kemiringan tiang dan tiang pancang miring negatif jika arah beban horizontalnya searah dengan arah kemiringan tiang pancang yang dapat digambarkan sebagai berikut :



Untuk menganalisa daya dukung tiang pancang kelompok akibat beban axial digunakan gabungan teori sebagai berikut :

Tiang pancang tunggal vertikal ($\beta=0^\circ$) akibat beban axial ditanah lempung lunak digunakan rumus Meyerhof. G. G. 1976 sebagai berikut :



$$Q_u = Q_t + Q_s \quad (1)$$

dimana,

Q_u = Daya dukung tiang pancang tunggal vertikal

Q_t = $9 C_u A_p$ (2)

Q_t = Tahanan ujung

C_u = Kuat geser tanah

A_p = Luas ujung tiang pancang

Q_s = $\alpha C_u A_s$ (3)

Q_s = Tahanan samping

α = Faktor adhesi

C_u = Kuat geser tanah

A_s = Keliling tiang pancang

Tiang pancang tunggal miring ($\beta=\pm 15^\circ, \pm 30^\circ$) digunakan rumus dari Meyerhof dan Ranjan 1973 sebagai berikut :



$$Q_{um} = 1 / [(\cos \alpha / Q_a)^2 + (\sin \alpha / Q_b)^2] \quad (4)$$

dimana

Q_{um} = Daya dukung tiang pancang tunggal miring

$\alpha = 90^\circ - \beta$ (5)

$Q_a = 9 C_u A_p + \alpha C_u A_s$

$Q_b = 0.4 C_u D d K_c$ (6)

$K_c = 2 \tan (45 + \theta/2) \cdot S_{cu}$ (7)

D = kedalaman tertanam tiang pancang

d = diameter tiang pancang

S_{cu} = faktor bentuk tiang pancang

Tiang pancang kelompok digunakan rumus sebagai berikut :

$$Q_{u\text{ kel}} = \eta \times N \times Q_u \text{ tunggal} \quad (8)$$

dimana

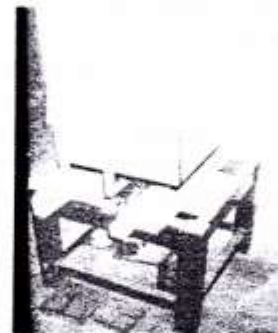
η = Efisiensi digunakan rumus Converse Labbare

N = Jumlah tiang pancang

METODOLOGI PENELITIAN

Penelitian ini dilakukan di laboratorium mekanika tanah Fakultas Teknik Universitas Sam Ratulangi Manado. Penentuan jenis tanah menggunakan standart AASTHO. Dari hasil pemeriksaan analisa saringan jumlah lolos #200 =

84.435%, Atterberg test diperoleh LL=60, PL=36.3 dan IP=23.7 maka diperoleh jenis tanah lempung lunak dengan kadar air tanah $W = 45\%$, nilai kuat geser tanah lempung (C_u) dari hasil pengujian dengan alat Unconfined Compression Test (UCT) adalah 0.2 kg/cm^2 . Jenis tiang pancang yang digunakan terbuat dari baja dengan nilai modulus elastisitas $E = 2.1 \times 10^8 \text{ kg/cm}^2$, diameter tiang 1.5 cm dan panjang tiang 32 cm. tiang pancang terdiri dari 4 tiang yang dihubungkan dengan pelat dengan jarak antar tiang 5D dan jarak dari tepi pelat ketieng 2.5D. Alat penghubung beban dengan kelompok tiang (frame) terbuat dari allumunium, berfungsi sebagai media penyalur beban axial terhadap kelompok tiang pancang. Untuk mengukur besarnya penurunan digunakan dial gauge. Jenis pembebangan adalah pembebanan statis yang terbuat dari besi baja dengan berat 1 kg, 2 kg, 3 kg, 4 kg, 5 kg dan 10 kg. Kotak percobaan terbuat dari papan tebal 3 cm dengan ukuran panjang 50 cm, lebar 50 cm dan tinggi 50 cm. Lengkapnya dapat dilihat pada gambar 1 dan gambar 2 dibawah ini.



Gambar 1. Kotak percobaan dan frame beban

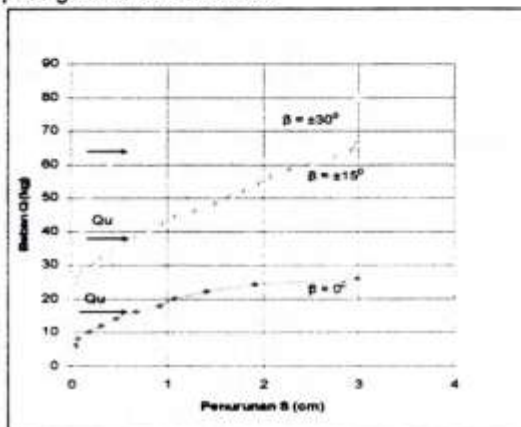


Gambar 2. Tiang pancang kelompok dengan berbagai variasi kemiringan

Mekanisme kerja percobaan dilaboratorium dapat dijelaskan sebagai berikut :

Material lempung dimasukkan kedalam kotak percobaan $50 \times 50 \times 50 \text{ cm}$ dengan cara setiap 10 cm lapis tanah dilakukan pemadatan secara merata sampai kotak percobaan terisi penuh. Sebelum mulai percobaan diambil sample tanah untuk melakukan pengujian Kadar Air dan Kuat Geser Tanah (C_u). Kelompok tiang pancang di masukkan dengan cara di dorong dengan tangan secara perlahan sampai pada

kedalaman yang diinginkan model driven pile. Frame beban digantung bersamaan dengan pemasangan dial gauge tegak lurus pada pelat pengikat kelompok tiang pancang. Pembebaran dilakukan dimulai dengan beban 1kg, 2kg dst dengan selisih waktu 30 menit untuk masing masing penambahan beban dan dilakukan pembacaan penurunan pada dial gauge untuk setiap penambahan beban. Setelah mencapai keruntuhannya maka dilakukan pengambilan sample tanah untuk dilakukan pengujian kadar air dan kuat geser tanah. Selanjutnya dilakukan pengujian yang sama untuk kemiringan tiang yang berbeda. Hasil uji pembebaran di laboratorium yaitu beban dan penurunan dibuat dalam bentuk grafik dan untuk mendapatkan daya dukung maksimum diperoleh dengan metode P-Y curve. Hasilnya dapat dilihat pada gambar 3 dibawah ini.



Gambar 3. Hubungan antara beban Q dan penurunan S untuk untuk kemiringan (β) tiang $0^\circ, \pm 15^\circ, \pm 30^\circ$

HASIL PERHITUNGAN DAN PEMBAHASAN

Hasil perhitungan kapasitas dukung tiang pancang kelompok (Q_u kel) dari percobaan dilaboratorium dari grafik hubungan beban dan penurunan diperoleh dengan menggunakan metode kurva P-Y dan kapasitas dukung tiang pancang kelompok (Q_u kel) dari perhitungan dengan menggunakan teori dari Meyerhof dan Ranjan 1973 dapat dilihat dalam table 1 dibawah ini :

Tabel 1. Hasil perhitungan Q_u kel laboratorium dan Q_u kel teori untuk berbagai variasi kemiringan tiang pancang

Kemiringan (β)	Qu kel (kg)		Perbedaan (%)
	Teori	Lab.	
0°	58.87	22	58.49
$\pm 15^\circ$	73.17	46	37.13
$\pm 30^\circ$	68.56	68	0.8

Hasil penelitian menunjukkan masih terjadi perbedaan yang besar antara kapasitas dukung tiang pancang kelompok Q_u kel dari percobaan dilaboratorium dibandingkan dengan kapasitas

dukung kelompok Q_u kel dari perhitungan teori dari Meyerhof dan Valsangkar 1973. Hal yang positif yang dapat dilihat dari hasil dilaboratorium menunjukkan terjadi kenaikan daya dukung kelompok Q_u kel akibat perubahan kemiringan tiang pancang sementara teori menunjukkan pada kemiringan (β) $\pm 30^\circ$ terjadi penurunan kembali.

Dari beberapa penelitian penulis sebelumnya Manoppo, F.J. (1998) mengenai pengaruh kemiringan tiang pancang akibat beban horizontal menunjukkan bahwa untuk kemiringan yang terbesar terjadi pada kemiringan (β) -15° namun untuk tiang pancang kelompok dari hasil dilaboratorium terjadi pada kemiringan (β) $\pm 30^\circ$

KESIMPULAN

Untuk menaikkan daya dukung tiang pancang khususnya di tanah lempung lunak akibat beban axial dapat dilakukan dengan menggunakan tiang pancang miring disarankan kemiringan tiang (β) berkisar antara $\pm 15^\circ$ s/d $\pm 30^\circ$.

Perhitungan daya dukung tiang pancang kelompok Q_u kel. dengan menggunakan teori dari Meyerhof G.G 1995 dikombinasikan dengan teori Meyerhof G. G. dan Ranjan 1973 untuk kemiringan tiang (β) 0° atau tiang pancang vertikal rumus yang ada perlu di kalikan faktor pengali sebesar 0.56, sementara untuk kemiringan tiang (β) $\pm 15^\circ$ faktor pengalinya adalah 0.37 dan untuk kemiringan tiang (β) $\pm 30^\circ$ dapat langsung digunakan.

Penelitian lebih lanjut dengan full scale loading test dilapangan diperlukan untuk memperoleh hasil yang lebih baik.

DAFTAR PUSTAKA

- Koumoto T., Meyerhof G.G., Sastry V.V.R.N., Analisis of Bearing Capacity of Rigid Pile under Eccentric and Inclined Loads, Volume 23. Pages 127 – 131, Canadian Geotechnical Journal/Revue Canadienne de Geotechnique. National Research Council Canada, 1986
- Manoppo F.J., Koumoto T., Fitting Method for Determining the Ultimate Bearing Capacity of Flexible Batter Piles in Sand under Lateral Loads. Journal of The Japanese Society Irrigation, Drainage and Reclamation Engineering (JSIDRE) No.195, pp 19-26, 1998
- Manoppo F.J., Koumoto T., Fitting Method for Determining the Ultimate Bearing Capacity of Flexible Batter Piles in Clay under Lateral Loads. Journal of The Japanese Society Irrigation, Drainage and Reclamation Engineering (JSIDRE) No.197, pp 71-78, 1998

- Manoppo F.J., Koumoto T., Ultimate Bearing Capacity and Deflection of Flexible Batter Piles in Clay under Horizontal Loads., Proceedings of the International Symposium on Lowland Technology Institute of Lowland Technology Saga University Japan, pp 219-226, 1998
- McNulty, J.F., Thrust Loading on Piles, Proc. ASCE, 82. No. SM2, pp. 940-1-25
- Meyerhof, G.G. and Ranjan, G., The Bearing Capacity of Rigid Piles under Inclined Loads in Sand. I, Vertical Piles, Canadian Geotechnical Journal, 9, pp. 430 - 446, 1972
- Meyerhof, G.G. and Ranjan, G., The Bearing Capacity of Rigid Piles under Inclined Loads in Sand. II, Batter Piles, Canadian Geotechnical Journal, 10, 71-85, 1973
- Meyerhof, G.G., Bearing Capacity and Settlement of Pile Foundations, ASCE Journal of the Geotechnical Engineering Division, 102(GT3), pp. 197 -228 (1976)
- Meyerhof, G.G., Soil Structure Interaction and Foundations. General Report, 6th Panamerican Conference on Soil Mechanics, Lima, Vol.1, pp. 109 – 140
- Meyerhof, G.G., Mathur, S.K. and Valsangkar, A.J., Lateral Resistance and Deflection of Rigid Walls and Piles in Layered Soils, Canadian Geotechnical Journal, 18. 159-170, 1981
- Meyerhof, G.G. and Yalcin, A.S., Pile Capacity for Eccentric Inclined Load in Clay. Canadian Geotechnical Journal, 21. 389-396, 1984
- Peck, R.B., Hansen, W.E. and Thoburn, T.H., Foundation Engineering. John Wiley and Sons, Inc., New York, 1953
- Poulos, H.G. and Davis, E.H., Pile Foundation Analysis and Design. John Wiley and Sons, Inc, New York, 1980
- Sastry, V.V.R.N. and Meyerhof, G.G., Behaviour of Flexible Piles in Layered Sands under Eccentric and Inclined Loads, Canadian Geotechnical Journal, Vol.31, No. 4, 513-520, 1994
- Sastry, V.V.R.N., Koumoto, T. and Manoppo, F.J., Bearing Capacity and Deflection of Laterally Loaded Flexible Piles, Bulletin of the Faculty of Agriculture, Saga University, No.78, 1994
- Sastry, V.V.R.N., Koumoto, T. and Manoppo, F.J., Bearing Capacity and Bending Moment of Flexible Batter Piles in Homogeneous Soil under Horizontal Loads, Bulletin of the Faculty of Agriculture, Saga University, No.79, 1995
- Sastry,V.V.R.N., Koumoto, T. and Manoppo, F.J., Deflection of Flexible in Sand under Horizontal Loads, 49th Canadian Gootechnical Conference of Canadian Geotechnical Society, pp.231-238, 1996